

УДК 541.18.534

ХИМИЧЕСКАЯ ТЕХНОЛОГИЯ

В. Д. ШУХМАН, Н. Б. УРЬЕВ, Н. В. МИХАИЛОВ,
академик П. А. РЕБИНДЕР

ИССЛЕДОВАНИЕ ВИБРАЦИОННОГО УПЛОТНЕНИЯ ДИСПЕРСНЫХ СТРУКТУР

В настоящей работе рассматривается одна из распространенных схем уплотнения дисперсных структур с малым содержанием жидкой фазы в виде модели упруго-вязкой среды с переменными упругостью и вязкостью на жестком основании, уплотняемой вибрацией со свободно лежащим и подпрессоренным пригрузом. Решение задачи по выбору оптимальных режимов^(1, 2, 18) и обоснование критерия эффективности рассматриваемой схемы имеет непосредственное значение для ряда прикладных задач⁽³⁻¹⁰⁾ уплотнения жестких бетонных смесей, порошков, металлокерамики.

Исследования проводились на модельных системах дисперсных структур из жестких смесей песчаного бетона следующего состава (в расчете на 1 м³): песок Тучковский с $M = 2,0 - 1600$ кг; тонкомолотое вяжущее с удельной поверхностью 5000 см²/г по ПСХ-2—600 кг (480 кг цемента «Гигант» исходной марки «400», 120 кг тонкомолотого песка); воды 180 л; лигносульфонат кальция — ССБ 0,2% от веса цемента. Бетонная смесь приготавливалась вибропреремешиванием в течение 3 мин. в смесителе при частоте вибрации 1500 кол/мин и амплитуде 3 мм.

Рис. 1. Зависимость степени уплотнения песчано-бетонной смеси от толщины слоя при изменении кинетического момента вибратора и одночастотной вибрации (с частотой $f = 42$ Гц)

№ кривых	I	II	III	IV
$M_k, \text{ кГсм}$	10,000	6,672	3,344	10,000
$P, \text{ кГ}$	698	465	233	698
$Q, \text{ г/см}^2$	50	50	50	80

Экспериментальная установка представляла собой стенд в виде поличастотного вибрационного поверхностного уплотнителя с регулируемыми параметрами двухчастотной вибрации.

В качестве переменных факторов изучались частота изменения возмущающей силы, кинетический момент вибратора, величина статического пригруза, толщина уплотняемого слоя. В процессе уплотнения измерялась амплитуда колебаний в различных точках виброуплотнителя, ускорение вибрации, кинетика и степень уплотнения по изменению во времени омического сопротивления смеси с помощью датчика омического сопротивления с записью на шлейфный осциллограф и определением объемного веса уплотняемой среды. В результате гармонического анализа виброграмм и статистической обработки данных измерений с помощью вычислительной машины «Проминь» были получены зависимости, представленные на рис. 1, 2. Для выяснения эффективности применения поличастотной вибрации в процессе уплотнения дисперсных структур с малым содержанием жидкой фазы на низкую частоту накладывалась высокая. Сравнение кри-

вых рис. 2 показывает, что введение второй высокой частоты значительно повышает степень уплотнения и ее роль возрастает по мере увеличения толщины слоя. Это означает, что высокая частота, накладываемая на низкую в условиях уплотнения особо жестких смесей со слабо выраженным пластическим свойствами и повышенной упругостью, затухает незначительно в пределах максимальной изученной толщины и ее действие весьма эффективно.

Анализ кривых рис. 1 и I—III рис. 2 показывает, что уменьшение кинетического момента вибратора ниже 10 кГсм приводит к резкому снижению степени уплотнения. Со снижением кинетического момента режим вибрации переходит из виброударного в безотрывный гармонический с резким уменьшением глубины и степени уплотнения и потому с ярко выраженной зависимостью степени уплотнения от толщины слоя.

Проверка известных критериев эффективности вибрации (A , ω , $A\omega$, $A\omega^2$, P/Q), где A — амплитуда, ω — круговая частота, P — возмущающая сила, Q — вес груза (6, 11), показала, что при уплотнении сверхжестких смесей типа песчаного бетона, приготовленного по усовершенствованной технологии, по принятой схеме ни один из этих критериев не может достаточно полно характеризовать процесс уплотнения и не является решающим.

Необходимым условием процесса вибрационного уплотнения (12, 14), является непрерывное разрушение упрочняющихся по мере повышения плотности пространственных структур, которое в свою очередь связано с определенной затратой энергии в виде работы разрушения, тем большей, чем выше прочность структуры. Поэтому критерием эффективности вибрации в процессе виброуплотнения должна быть выбрана энергетическая характеристика.

При виброударном режиме с отрывом источника вибровозбуждения от уплотняемой среды следует принять такой критерий эффективности уплотнения, который оценивает характер взаимодействия источника вибровозбуждения с уплотняемым материалом в период их контакта.

Такой характеристикой для ударного режима может быть импульс силы I_p , являющийся энергетической характеристикой удара и полученный путем обработки данных гармонического анализа (15) $I_p = 2P\tau_n/\pi(I_a/I_a)$, где I_p — импульс силы в период передачи энергии в смесь, P — возмущающая сила, τ_n — промежуток времени, I_a/I_a — отношение «импульсов амплитуд», характеризующее поглощение средой колебаний источника вибровозбуждения.

Наличие энергетического критерия позволило применить метод математического моделирования с помощью аналоговой вычислительной машины МН-7 для исследования описанных выше систем.

При построении математической модели уплотняемая среда рассматривалась как упруго-вязкое тело. Основание принято абсолютно жестким. Масса уплотняемой песчано-бетонной смеси (ввиду ее незначительности

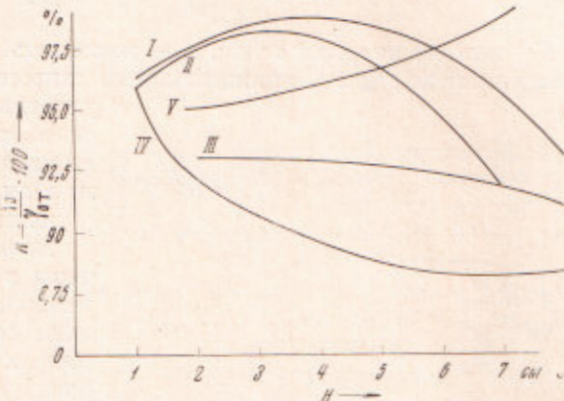


Рис. 2. То же, что на рис. 1, при двухчастотной вибрации $f_1 = 42$ Гц; $f_2 = 84$ Гц

№№ кривых	I	II	III	IV	V
M_{k_1} , кГсм	10,000	10,000	6,672	3,344	10,00
M_{k_2} , кГсм	2,40	1,49	2,40	2,40	2,40
Q , Г/см ²	50	50	50	50	80

по сравнению с массой уплотнителя) была присоединена к массе уплотнителя. Динамическая схема стеновой установки приведена на рис. 3.

Дифференциальное уравнение, приведенное к машинному виду

$$\ddot{y} = \frac{c_2 L}{m} \varphi - \left(\frac{c_1}{m} + \frac{c_2}{m} \right) y - \frac{n_1}{m} \dot{y} + \frac{P}{m} \sin \omega t, \quad (1)$$

$$\ddot{\varphi} = - \frac{(c_2 L^2 + c_3 l^2)}{I} \varphi + \frac{c_2 L}{I} y - \frac{F l}{I}, \quad (1a)$$

где I — момент инерции связи, c_2 — жесткость прижимной пружины, c_3 — приведенная жесткость прижимающего гидроцилиндра, m — масса виброподатчика, c_1 — жесткость смеси в кГ/см, n_1 — демпфирование смеси в кГ · сек/см, L — длина связи в см, F — усилие давления гидроцилиндра.

Величины c_1 и n_1 были получены в результате построения резонансных кривых по данным гармонического анализа для промежуточных значений и для конца периода уплотнения $t = 40$ сек.

Изменяющиеся величины жесткости и вязкости в процессе уплотнения определились в соответствии с уравнением кинетической

Рис. 3. Динамические схемы исследуемых систем

кривой уплотнения, полученной в результате записи изменений омических свойств песчано-бетонных смесей при уплотнении (16)

$$\frac{1}{c} = 2,1769 + \frac{3,7788}{t} - \frac{1,258}{t^2}. \quad (2)$$

При отрыве поверхностного уплотнителя от уплотняемой среды уравнения (1) примут вид

$$\ddot{y} = \frac{c_2 L}{m} \varphi - \frac{c_2}{m} y + \frac{P}{m} \sin \omega t - g, \quad (3)$$

$$\ddot{\varphi} = - \frac{(c_2 L^2 + c_3 l^2)}{I} + \frac{c_2 L}{I} y - \frac{F l}{I}. \quad (3a)$$

Первоначально исследовали систему без прижимов пружины — поверхностный уплотнитель свободно лежит на смеси. При этом уравнение движения в момент контакта источника вибровозбуждения с уплотняемым материалом принимает вид

$$\ddot{y} = - \frac{c}{m} y - \frac{n}{m} \dot{y} + \frac{P}{m} \sin \omega t. \quad (4)$$

При отрыве от уплотняемого материала

$$\ddot{y} = \frac{P}{m} \sin \omega t - g. \quad (5)$$

При наложении второй частоты уравнения примут вид:

$$(4) \rightarrow \ddot{y} = - \frac{c}{m} y - \frac{n}{m} \dot{y} + \frac{P_1}{m} \sin \omega_1 t + \frac{P_2}{m} \sin \omega_2 t; \quad (6)$$

$$(5) \rightarrow \ddot{y} = \frac{P_1}{m} \sin \omega t + \frac{P_2}{m} \sin \omega_2 t - g. \quad (7)$$

Блок-схема для решения указанных систем, составленная применительно к 2 аналоговым машинам МН-7, позволяет записать на шлиффовый осциллограф амплитуду, скорость, ускорение колебаний, импульс силы и энергию удара.

По результатам обработки полученных осцилограмм построены зависимости $E = f(c, n)$, где E — энергия удара (рис. 4). Эти зависимости позволяют сделать вывод, что в начале уплотнения ($c = 2200$, $n = 6,25$) параметры вибрации (A, ω) существенно не влияют на величину E_1 , так как она оказывается достаточно высокой для всего диапазона изученных режимов вибрации. С повышением же жесткости и вязкости смеси по мере уплотнения четко выделяется оптимальный для исследуемой системы режим (42 Гц), применимый для широкого диапазона жесткостей и вязкостей.

Наложение высокой частоты сопровождалось возрастанием величины энергии удара на всех режимах вибрации. Однако существует область оптимальных жесткостей и вязкостей, в которых этот эффект проявляется.

Анализ результатов моделирования процесса виброуплотнения на аналоговой счетной машине показал, что с переходом от виброударного режима к гармоническому резко снижается энергия, передаваемая источником вибрации в уплотняемую среду, что хорошо согласуется с результатами экспериментальных исследований виброуплотнения песчанобетонных смесей, представленными на рис. 1, 2.

Приведенные зависимости могут быть использованы для оценки уплотняемости смеси по величине энергии, переданной ей за принятый период изменения жесткости и вязкости. Величина энергии, передаваемая системе и изменяющаяся в зависимости от реологических свойств уплотняемой среды, может быть оценена графически площадью между кривой $E = f(c, n)$ (рис. 4) и осью абсцисс или получена путем интегрирования уравнений соответствующих кривых по выбранным пределам.

Институт физической химии
Академии наук ССР

Поступило
25 XII 1969

Специальное конструкторское бюро
«Мелиормаш»
Минск

ЦИТИРОВАННАЯ ЛИТЕРАТУРА

- ¹ П. А. Ребиндер, Сборн. статей Физико-химическая механика дисперсных структур, «Наука», 1966, стр. 3. ² П. А. Ребиндер, Н. В. Михайлов, Вестн. АН ССР, № 10, 70 (1961). ³ И. Г. Шаталова, Н. С. Горбунов, В. И. Лихтман, Физико-химические основы вибрационного уплотнения порошковых материалов, «Наука», 1965. ⁴ Н. В. Михайлов, Основные принципы новой технологии бетона и железобетона, М., 1961. ⁵ Н. Я. Хархута, Уплотнение грунтов и щебеночных оснований методом виброровывалки, М., 1952. ⁶ А. Е. Десов, Виброровываленный бетон, М., 1956. ⁷ М. П. Зубанов, Вибрационные машины для уплотнения бетонных смесей и грунта, М., 1959. ⁸ Д. Д. Баркан, Виброметод в строительстве, М., 1959. ⁹ Г. Я. Куниос, Вибрационная технология бетона, Л., 1967. ¹⁰ Л. А. Файтельсон, П. П. Линарт, И. П. Бриедис, Опыт вибропоршневого формования сборных железобетонных конструкций, Рига, 1965. ¹¹ С. А. Осмаков, Сборн. Тр. Всесоюзн. инст. гидротехн. и санит.-техн. работ, № 20, 1962. ¹² В. Н. Шмагальский, Об оценке эффективности вибрации при уплотнении бетонных смесей. Научн. докл. высш. школы, № 2 (1958). ¹³ Н. Б. Урьев, Н. В. Михайлов, Колл. журн., 30, № 5, 767 (1968). ¹⁴ Н. Б. Урьев, Н. В. Михайлов, П. А. Ребиндер, ДАН, 184, № 3, 665 (1969). ¹⁵ Н. Б. Урьев, Н. В. Михайлов, П. А. Ребиндер, ДАН, 184, № 2, 387 (1969). ¹⁶ Г. А. Козодаев, В. Д. Шухман и др., Тез. докл. конфера. Физико-химическая механика дисперсных материалов, Минск, 1969. ¹⁷ Н. Б. Урьев, Н. В. Михайлов, там же, стр. 12. ¹⁸ И. А. Добрushina, М. Р. Спасский и др., ДАН, 189, № 3 (1969).

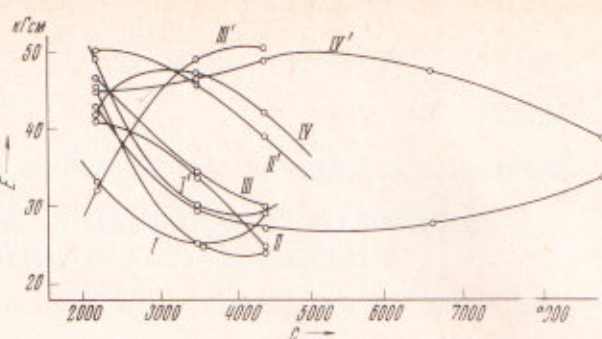


Рис. 4. Зависимость энергии удара от коэффициентов жесткости и демпфирования цементно-песчаной смеси
№№ кривых I I' II II' III III' IV IV'
 f , Гц 50 50-100 25 25-50 33 33-66 42 42-84